

الدراسة الهيدروليكي للموجة الفيضانية الناجمة عن المفيض الجانبي لسد الأبرش

اسم الباحث: حسين الحسين
الدكتور المشرف: د. شعبان حديد
المشرف المشارك: د. مرتضى علي

الملخص

يهدف البحث إلى تسلیط الضوء على حالات الفيضان الناجمة عن تصميم مفيضات السدود بقدرة تصريفية لا تتناسب مع القدرة الاستيعابية لمجرى نهر الأبرش مما يؤدي إلى فيضان المياه خارج حدود المجرى وتعرض بعض المناطق للغرم. حيث تناول البحث دراسة الموجة الفيضانية التي تتعرض لها الأراضي الممتدة على جانبي نهر الأبرش من السد وحتى مصب النهر في البحر الأبيض المتوسط وذلك عند تشغيل المفيض الجانبي بقدرتة التصريفية العظمى بالتزامن مع المفرغين السفليين لسد الأبرش وذلك بتصریف كلي يبلغ (564m³/sec) والذي يعتبر أكبر من القدرة الاستيعابية للمجرى خلفه والتي لا تتجاوز في أفضل مقاطعة (80m³/s) مما يتسبب بحدوث فيضانات متكررة في المنطقة.

تم اجراء الدراسة من خلال بناء نموذج طبوغرافي رقمي للمنطقة المدروسة ضمن بيئة (GIS) وذلك بالاعتماد على الأداة (Hec-GeoRas) التي تسمح بتصدير النموذج إلى برنامج التحليل النهري (Hec-Ras) لإجراء عملية المعايرة والدراسة الهيدروليكيه، ومنه تم تحديد كافة الآثار الناجمة عن الموجة الفيضانية ومدى تأثيرها على القرى والمنشآت والطرق الواقعة ضمن منطقة الدراسة، حيث تبين أن الجزء الأخير من النهر هو الأكثر تأثراً من حيث عرض الغمر وذلك بسبب سهولة المنطقة بالإضافة للتشوهات الحاصلة في ضفاف المجرى، كما أن سرعة الجريان تجاوزت في بعض المقاطع (4m/s) مما يؤدي

لجرف التربة وإلحاق الضرر بالأراضي الزراعية والممتلكات، كما أن الموجة الفيضانية تسبب في قطع حركة السير على جميع الطرق التي تتقاطع مع المجرى حيث تراوحت ارتفاعات الغمر الأعظمية بين (3.1 – 1.55)m.

الكلمات المفتاحية: الموجة الفيضانية _ سد الأبرش _ المعايرة الهيدروليكية _ جريان غير مستقر _ برنامج التحليل النهرى

The Hydraulic Study of Flood Wave Resulting from the Side Spillway of Al-Abrash Dam

Abstract

The research aims to shed light on the flooding cases resulting from the design of dam spillways with a discharge capacity that is not commensurate with the carrying capacity of the channel behind it, which leads to water overflowing outside the channel boundaries and submerging some areas. The research dealt with the flood wave that the lands extending on both sides of the Abrash River are exposed to, from the dam to the river mouth in the Mediterranean Sea, when the side spillway is operated at its maximum discharge capacity in conjunction with the two lower discharges of the Abrash Dam, with a total discharge of (564 m³/sec), which is considered greater than the carrying capacity of the channel behind it, which does not exceed (80 m³/s) in the best district, which causes recurrent flooding in the region.

The study was conducted by building a digital topographic model of the studied area within a GIS environment, relying on the Hec-GeoRas tool, which allows the model to be exported to the river analysis program (Hec-Ras) for calibration and hydraulic study. From this, all the effects resulting from the flood wave and the extent of its impact on the villages, facilities and roads located within the study area were determined. It was found that the last part of the river

is the most affected in terms of the width of the flood due to the flatness of the area in addition to the distortions occurring in the banks of the river. Also, the flow speed exceeded (4 m/s) in some sections, which leads to soil erosion and damage to agricultural lands and property. The flood wave also causes traffic disruption on all roads intersecting with the river, as the maximum flood heights ranged between (1.55 - 3.1 m).

Keywords: Flood Wave - Al-Abrash Dam - Hydraulic Calibration - Unstable Flow - River System Analysis Program

1. مقدمة

تعتبر فيضانات الأنهر واحدة من أكبر المشاكل التي تواجه الإنسان منذ أقدم العصور لما لها من آثار مدمرة على الممتلكات والأراضي والتربة والمزروعات، فحاول السيطرة عليها من خلال بناء السدود والحواجز المجهزة بمفرغات ومفيضات الهدف منها تفريغ المياه الزائدة من بحيرة السد إلى المجرى خلفه، حيث تتكون المناطق خلف السد في معظم الأحيان من مجاري متغير المقطع وغالباً ما توجد على جوانبه تجمعات سكنية أو فعاليات اقتصادية كالمنشآت المدنية والمعماري والأراضي الزراعية، وعند حدوث ارتفاع لمنسوب المياه خارج حدود المجرى يحصل تدفق فيضائي متغير مع الزمن ينتقل في مجاري متغير المقطع متعدد التضاريس يختلف فيه الميل الطولي وبالتالي يكون الجريان الناتج غير منتظم وغير مستقر.

ومن هنا تأتي أهمية البحث من خلال تسلیط الضوء على مفهوم الفيضانات الناجمة عن تصميم مفيضات السدود بقدرة تصريفية أكبر من القدرة الاستيعابية للمجرى خلفه، حيث تزداد هذه المشكلة مع مرور الزمن نتيجة تراكم الرواسب في قاع المجرى والتهاون الحاصل في الصدفاف ونمو الحشائش والنباتات، كما هو الحال في نهر الأبراش.

تم اجراء الدراسة من خلال بناء نموذج حاسوبي للمنطقة المدروسة، حيث تعرف النماذج الحاسوبية بأنها استخدام البرمجيات الهندسية في تمثيل الأشياء والواقع لتبني سير العمليات والتغيرات الحاصلة في منظومة معينة ضمن أساس وقواعد محددة، ولنمذاج الحاسوب قيمة

علمية عالية لأنها تسمح للباحث بدراسة سلوك واستجابة ظاهرة معينة في ظل ظروف لا يمكن تطبيقها على أرض الواقع [1].

2. هدف البحث

تحديد كافة عناصر ومتغيرات الموجة الفيضانية الناجمة عن تشغيل المفيض الجانبي لسد الأبرش بقدرته التصريفية العظمى.

3. الدراسات المرجعية:

3-1- تحديد العناصر الهيدروليكية للموجات الفيضانية الناجمة عن الهطلات المطرية واقتراح منشآت تنظيم لمجرى نهر الغمرة (2022) [3]

تهدف الدراسة إلى تقييم الخصائص الهيدرولوجية والهيدروليكية للموجات الفيضانية الناجمة عن العواصف المطرية ضمن مجرى نهر الغمرة. قام الباحث بتطوير نموذج تحليلي متكمال يعتمد على بيانات الأقمار الصناعية، والنماذج العددية، ونظم المعلومات الجغرافية (GIS).

استُخدم في الدراسة بيانات مستخرجة من الأقمار الصناعية اليابانية (ALOS) بالإضافة لموديل الارتفاعات الرقمية (DEM) لتوليد طبقة الأساس الطبوغرافية، ثم تم بناء قاعدة بيانات مكانية باستخدام (GIS) وبالتالي مع نظم الإسقاط تمت معالجة كافة البيانات المكانية. وجرى بعد ذلك تحويل هذه البيانات إلى تسلسليات قابلة للاستخدام الهيدرولوجي من خلال الأداة (HEC-GEORAS).

استخدام الباحث برنامج (HEC-HMS) لمحاكاة العاصفة المطرية النموذجية، التي بلغت شدة هطلها (29.8) ملم خلال 24 ساعة ثم استخدم الأداة (HEC-GEORAS) لتجهيز البيانات المكانية والهندسية من أجل نماذج الجريان باستخدام برنامج (HEC-RAS)، حيث تم إدخال معلومات مفصلة عن طبيعة مجرى النهر، والانحدارات، وخطوط الضفاف، وبيانات المنشآت كالمسابات والعبارات.

أظهرت نتائج المحاكاة أن الموجة الفيضانية الناتجة عن هذه العاصفة قد تصل سرعتها القصوى في بعض المقاطع الجبلية إلى (5.21m/sec)، في حين سجلت في مناطق أخرى سرعة أقل بلغت (2.4m/sec)، مع عرض جريان تجاوز (35) متراً في بعض المواقع. كما بيّنت النتائج أن أقصى عرض للفيضان بلغ حوالي (400) متر، وتم تحديد أعلى معدل تصريف النهر والذي بلغ عند بعض المقاطع ($156\text{m}^3/\text{sec}$).

قسمت الدراسة حوض النهر إلى أربعة مناطق تنظيمية، بهدف تطوير استراتيجيات لإدارة الجريان وتصريف المياه الفائضة، وتم اقتراح حلول تنظيمية كإقامة سدود صغيرة وأحواض تهيئة وترسيب، بالإضافة إلى إمكانية الاستفادة من مياه الفيضان من خلال منشآت تخزينية.

3-2- تطبيق النمذجة الرياضية لدراسة سلوك الموجات الفيضانية في الأنهار الطبيعية وفقاً للمعاملات الهيدروليكيّة والهيدرولوجية لحوض التصريف (2010) [4]

في دراسة أجراها Chagas et al. (2010) في جامعة سيارا الفيدرالية بالبرازيل، تم استخدام النمذجة الرياضية كأداة تحليلية لفهم كيفية تفاعل سلوك الموجة الفيضانية مع الخصائص الهيدروليكيّة والهيدرولوجية لحوض التصريف، ركزت الدراسة على محاكاة سلوك الفيضانات في الأنهار طبيعية باستخدام بيانات ميدانية ونموذج رياضي يأخذ بالاعتبار مجموعة من العوامل الحاكمة مثل معامل مانينغ، مساحة الحوض، الميل الطولي للمجرى، وزمن الترکيز.

توصلت الدراسة إلى تحليل مدى تأثير هذه المعاملات في خصائص الموجة الفيضانية مثل الارتفاع، والسرعة، وزمن الوصول، وقد أظهرت النتائج أن للمعاملات الهيدروليكيّة تأثيراً حاسماً على سلوك الجريان، حيث تبيّن أن زيادة معامل الخشونة يؤدي إلى انخفاض في سرعة الموجة، مما يمنح وقتاً أطول للتنبيه والاستجابة الطارئة، في حين أن انخفاض الميل الطولي قد يؤدي إلى تراكم المياه وارتفاع منسوب الفيضان في بعض النقاط. كما أشارت الدراسة إلى أهمية تمثيل الخصائص الفيزيائية لحوض التصريف بدقة داخل النموذج الرياضي، لأن ذلك يساعده في رفع موثوقية التنبؤ بسلوك الفيضان في السيناريوهات

المختلفة، مما يجعل النمذجة أداة فعالة في دعم خطط الطوارئ وتقنيات إدارة الفيضانات في المناطق المعرضة للخطر.

أبرز ما توصلت إليه الدراسة:

- تتأثر ديناميكية الموجة الفيضانية بصورة مباشرة بمعاملات الحوض الهيدروليكية والهيدرولوجية.

- المعاملات مثل الخشونة والميل وزمن التركيز تؤثر على توقيت الذروة الفيضانية وارتفاعها.

- النمذجة الدقيقة تساهم في فهم السيناريوهات الحرجية وتحدد أداة استراتيجية في إدارة الكوارث.

4. توصيف منطقة الدراسة

تشمل المنطقة المدروسة الأراضي الممتدة على جانبي نهر الأبرش وذلك ابتداءً من السد وحتى مصب النهر في البحر الأبيض المتوسط، وذلك بمساحة كلية تبلغ (2490 km²). كما تتميز المنطقة بتضاريس متفاوتة حيث تصل الارتفاعات فيها إلى (250m) عن سطح البحر في الجزء العلوي من النهر وتنتهي بتضاريس سهلية عند المصب، كما تتميز المنطقة باحتوائها على نباتات متنوعة، وتعطي مساحات كبيرة منها إذ تنتشر الأحراش الكثيفة في الجزئين العلوي والوسطي من الحوض، كما تسود في المنطقة التربة (الحمراء - البنية) حيث تتميز المناطق الجبلية بمخارج صخرية كلسية تغطيها طبقة بسيطة من التربة الناعمة أما الهضاب السطحية فمغطاة بشكل أساسي بتربة حصوية قليلة السماكة وذات لون بنّي وبنّي رمادي حيث تبلغ سماكة التربة عند قدم السفوح (0.1-0.25 m) وسطياً ، وفي وادي النهر تصل حتى (1m) أو أكثر [2].

5. مواد وطرق البحث

5-1- الأدوات المستخدمة في البحث:

- برنامج نظام المعلومات الجغرافية (GIS): هو عبارة عن مجموعة من الأنظمة التكاملية التي توفر إمكانية التعامل مع البيانات المكانية والوصفيّة، وإجراء عمليات التحليل ثلاثية البعد التي تتضمن دراسة السطوح المائية وتغيراتها والسطح المعبّر عن البيانات المناخية،

وتحليل سطح الأرض الطبيعية بغرض استنتاج الأحواض الساكبة والمسيلات المائية وإعداد وتحديث الخرائط الطبوغرافية [5].

- برنامج التحليل النهري (Hec-Ras): هو عبارة عن مجموعة برمجيات هندسية تسمح بتحليل الجريان ضمن المجاري المائية وإيجاد السطوح الحرة للمياه في حالتي الجريان المستقر وغير المستقر (الفيضان)، بالإضافة لدراسة حركة الرسوبيات وتحليل درجات حرارة المياه في المجاري المائية، حيث يعتمد البرنامج في حساباته الهيدروليكية على معادلة (Saint-Venant) والتي تتطلب إدخال قيم التدفقات ضمن المجرى وتغيراتها بالإضافة إلى الشروط الحدية والبيانات الجيومترية الخاصة بمنطقة الدراسة [6].

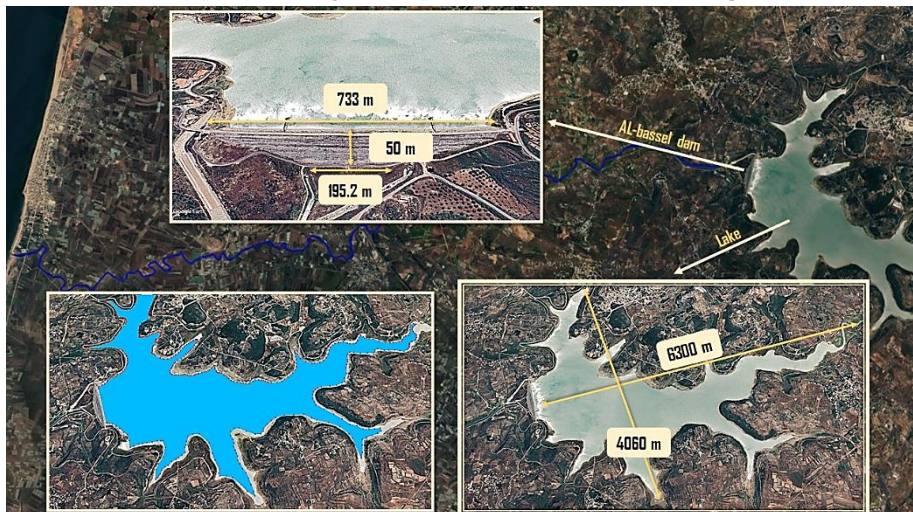
- برنامج Google Earth: برنامج حاسوبي يعرض تمثيلاً ثلاثي الأبعاد للأرض بالاعتماد على الصور المأخوذة من الأقمار الصناعية والصور الجوية وبيانات نظم المعلومات الجغرافية، ومن خلاله يمكن التعرف على العديد من معالم سطح الأرض ودراسة تغيراتها الطبوغرافية، كما يساعد على الوصول إلى مجموعة واسعة من البيانات الجغرافية المكانية مثل تحديد مسارات الأنهر ورصد شبكات الطرق وأماكن توضع المنشآت والقرى والتجمعات السكنية [7].

- الأداة Hec-GeoRas: هي عبارة عن مجموعة من الأدوات المساعدة لمعالجة البيانات الجغرافية في ArcGIS باستخدام واجهة رسومية (GUI) تسمح بإعداد البيانات الهندسية بشكل قابل للتصدير إلى برنامج Hec-Ras، ومن شروط العمل على الأداة أن يتتوفر لدى المستخدم نموذج تضاريس رقمي لمنطقة الدراسة بتتبسيق (Arc Info TIN) [8].

5-2- البناء الطبوغرافي للنموذج:

تمأخذ مجموعة من الصور الجوية لمنطقة الدراسة الممتدة من سد الأبرش وحتى مصب النهر في البحر الأبيض المتوسط، حيث تم تحديد مسار نهر الأبرش وتغيراته ضمن المنطقة المدروسة وامتداد الصفاف على جانبي المجرى مع الأخذ بالاعتبار كافة التغيرات الحاصلة في أبعاد المقاطع، كما تم تحديد موقع وأبعاد جسم السد والبحيرة كما يوضح الشكل (1)، بالإضافة لأماكن توضع العبارات والمنشآت المائية والمدنية والصناعية وأماكن توضع القرى والتجمعات السكنية والأراضي المستثمرة ضمن المنطقة المدروسة.

تم حفظ هذه البيانات بشكل مسارات ومضلعات وموقع بصيغة KML وذلك بهدف تصديرها إلى برنامج GIS من أجل البناء الأولي للنموذج الطبوغرافي.



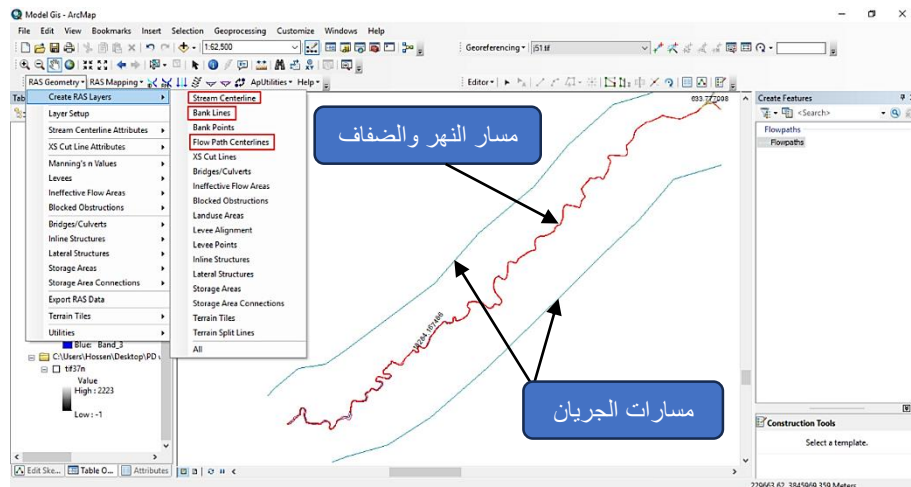
الشكل (1): صورة جوية توضح موقع وأبعاد جسم السد والبحيرة.

تمثيل ومعالجة البيانات المكانية ضمن بيئة GIS باستخدام الأداة Hec-GeoRas:

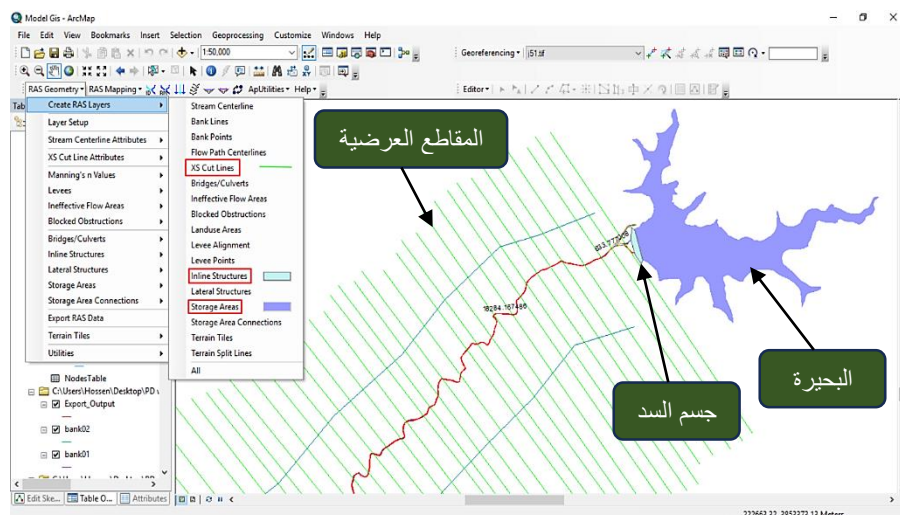
تم استخدام الأداة Hec-GeoRas بهدف الحصول على نموذج طبوغرافي يمكن اخراجه بصيغة (RAS) القابلة للتصدير إلى برنامج Hec-Ras وذلك لمعايرة النموذج وإجراء الدراسة الهيدروليكية، وفق الخطوات التالية:

1. اسقاط وتوجيه كافة الصور الجوية المأخوذة لمنطقة الدراسة وفق نظام الاسقاط Georeferencing وذلك باستخدام الأداة WGS-1984-UTM-ZONE-37N.
2. استيراد كافة معطيات النموذج (النهر - الضفاف - العبارات - السد - البحيرة) بشكل طبقات (layer) وتم اسقاطها وفق نفس النظام السابق.
3. تحديد مسار النهر (stream centerline) والضفاف (Banks) ومسارات الجريان على جانبي المجرى (flow path centerline)، كما يوضح الشكل (2).
4. إنشاء طبقة خاصة بموقع جسم السد والبحيرة كما يوضح الشكل (3).
5. استنتاج المقاطع العرضية (cross section): تم اختيار أماكن المقاطع العرضية استناداً إلى بارامترات معادلة الجريان غير المنتظم، حيث تم اختيار الأماكن التي تكثر

فيها التعرجات واللتواهات والموقع التي يتغير فيها ميل النهر ومعامل خشونة صفاف وقاع المجرى، مع مراعات تكيف المقاطع في الأماكن التي يتغير فيها المقطع العرضي لمجرى النهر بشكل كبير.



الشكل (2): إنشاء الطبقات الخاصة بجري النهر والضفاف ومسارات الجريان في GIS.

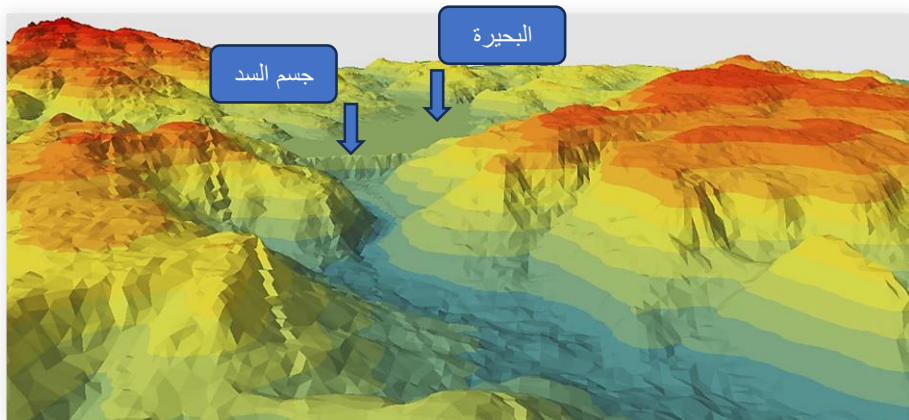


الشكل (3): إنشاء الطبقات الخاصة بجسم السد والبحيرة والمقاطع العرضية في GIS.

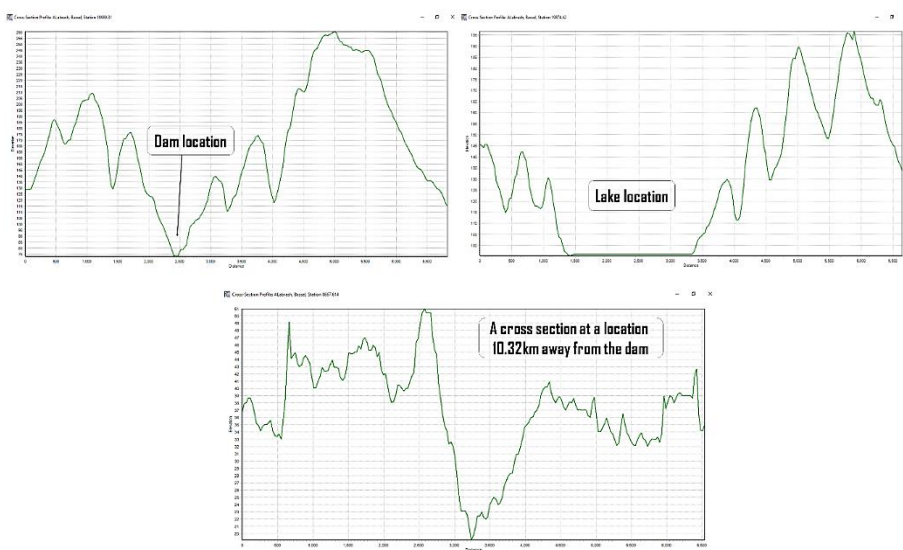
تحويل العناصر الثنائية إلى عناصر ثلاثية البعد:

بهدف الحصول على نموذج ثلاثي الأبعاد يوضح التضاريس الطبوغرافية لمنطقة الدراسة تم استخدام طبقة الارتفاعات (dem₃₀) والتي يجب أن تكون مرجعة وفق نفس نظام

الاسقاط المستخدم في الخرائط بهدف الحصول على تطابق بين الخريطة المسقطة واحتياطاتها الجغرافية فوق طبقة الارتفاعات، وبالتالي أصبح بالإمكان الحصول على مخطط طبوغرافي ثلثي الأبعاد لحدود منطقة الدراسة كما يوضح الشكل (4)، كما يمكن الحصول على مقاطع عرضية تفصيلية لجميع المدخلات الخاصة بالنموذج كما يوضح الشكل (5).



الشكل (4): مقطع ثلثي الأبعاد للمنطقة المدروسة بعد معالجة البيانات الطبوغرافية.



الشكل (5): مقاطع عرضية توضح طبوغرافية المنطقة في موقع جسم السد والبحيرة وعند مقطع من النهر يبعد عن السد 10.32 كم.

5-3- المعايرة الهيدروليكيه للنموذج ضمن بيئه Hec-Ras :

تمت معايرة النموذج من خلال دراسة حالة الجريان المستقر ضمن المجرى وذلك من خلال تحديد قيم ارتفاعات الماء المقاسة والناتجة عن مرور تدفقات مختلفة في عدة مواقع من المجرى ومقارنتها مع قيم ارتفاعات الماء المحسوبة من النموذج والناتجة عن ادخال نفس التدفقات السابقة حيث كلما زاد معدل التقارب بين القيم المحسوبة والمقاسة كلما كان النموذج أقرب إلى الواقع، مع العلم أنه تم استخدام طريقة معامل الارتباط الخطى (r)

لتحديد معدل التقارب بين القيم ومدى صحة النموذج وموافقته للواقع [1].

$$r = \frac{\sum_{i=1}^n (x_i - \bar{x})(y_i - \bar{y})}{\sqrt{\sum_{i=1}^n (x_i - \bar{x})^2} \sqrt{\sum_{i=1}^n (y_i - \bar{y})^2}} \quad (1) \dots \dots$$

دراسة حالة الجريان المستقر (steady flow) :

يعتمد برنامج Hec-Ras في دراسة نظام الجريان المستقر على ادخال قيم التدفقات المارة في النهر وتغيراتها بالإضافة إلى الشروط الحدية الخاصة بالمجرى، مع العلم أن البرنامج يقوم بتحديد نوع الجريان إذا كان فوق حرج أو دون حرج أو مختلطاً بالاعتماد على العمق الحرج الذي يقوم بحسابه [9].

تم ادخال قيم التدفقات في عدة مقاطع من النهر والتي تراوحت بين m^3/s (1.2-8.5)،

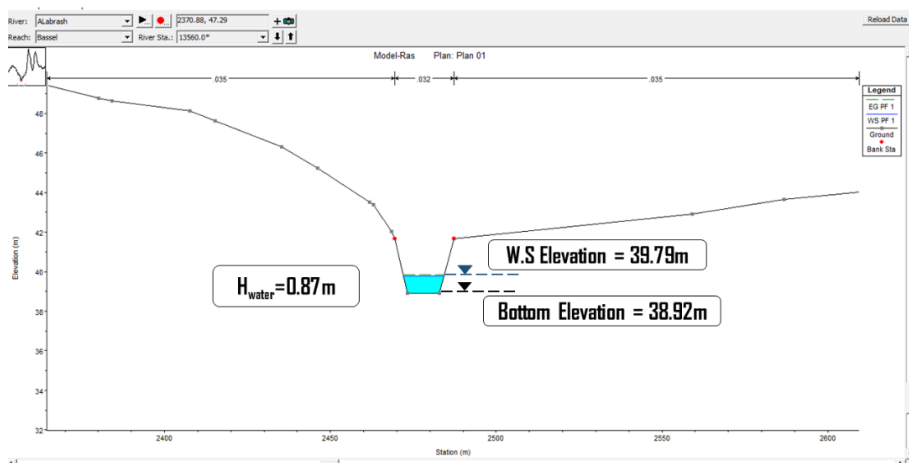
كما تم تحديد الشروط الحدية للحوزين العلوي والسفلي وفق التالي:

- الحوز العلوي (بداية النهر بعد السد): تم تحديد ارتفاع الماء الموافق للتدفق المدخل كشرط حدي بدائي.

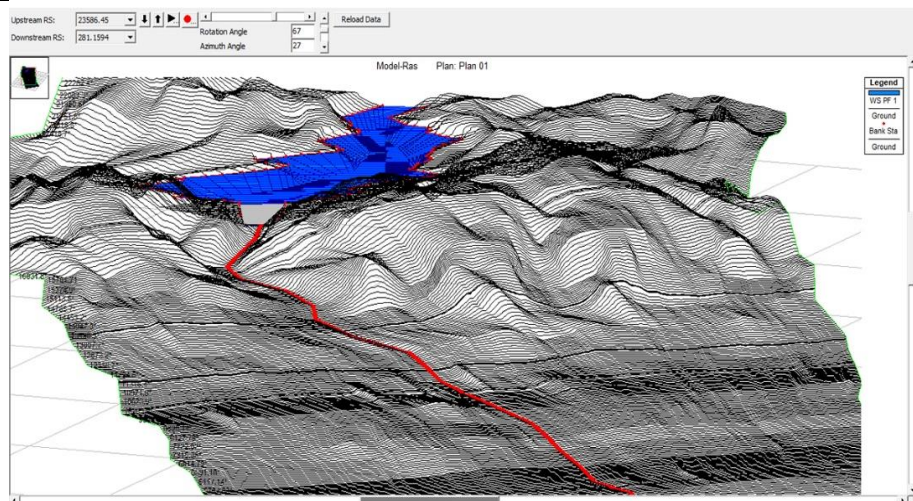
- في الحوز السفلي (الجزء الأخير من النهر عند المصب) تم ادخال قيمة الميل الطبيعي لسرير النهر (0.0036) كشرط حدي نهائي.

بعد ادخال قيم التدفقات والشروط الموافقة لها تمت معالجة البيانات والحصول على النتائج التالية:

- قيم ارتفاعات الماء ضمن المجرى وتغيراتها على امتداد منطقة الدراسة، والتي تراوحت بين (0.3-1.4) m، كما يوضح الشكل (6) منسوب المياه في مقطع ما من النهر يبعد مسافة (5.39km) عن السد.
- سرعة جريان الماء ضمن المجرى بالحالة الطبيعية وتغيراتها، والتي تراوحت بين (0.21-1.69) m/sec.
- مقاطع عرضية وطولية تظهر شكل وارتفاع الماء ضمن المجرى، بالإضافة لمقاطع ثلاثة الأبعاد توضح حركة المياه على امتداد المنطقة المدروسة كما يوضح الشكل .(7)



الشكل (6): منسوب الماء في مقطع من النهر يبعد عن السد 5.39km.



الشكل (7): مقطع ثلاثي الأبعاد للمنطقة المدروسة بحالة الجريان الطبيعي.

المعايير الهيدروليكية للنموذج:

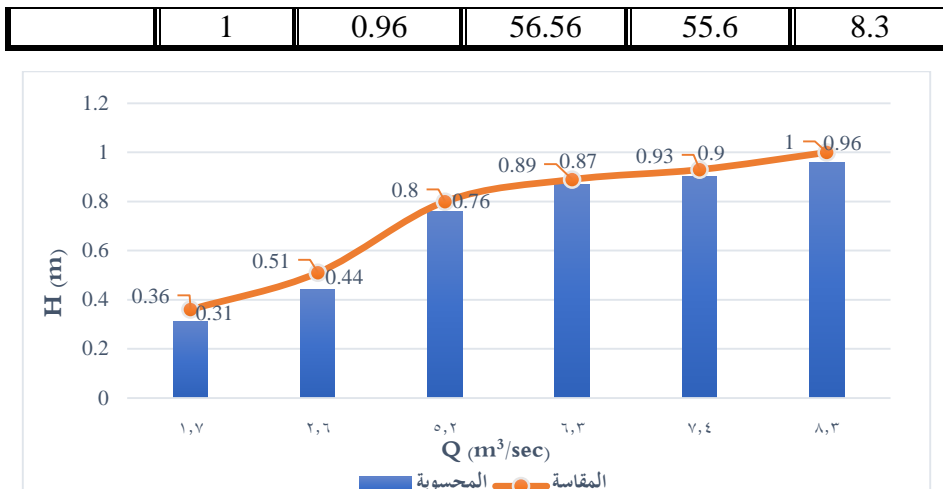
تمت معايرة النموذج عند خمس مواقع من النهر موضحة في الجدول (1)، كما يوضح الجدول (2) والشكل (8) نتائج المعايرة عند المحطة الأولى، ويوضح الشكل (9) القيم المحسوبة والمقاسة لارتفاعات المياه عند محطات المعايرة الثانية والثالثة والرابعة والخامسة.

الجدول (1) يوضح موقع محطات المعايرة الخاصة بالنماذج.

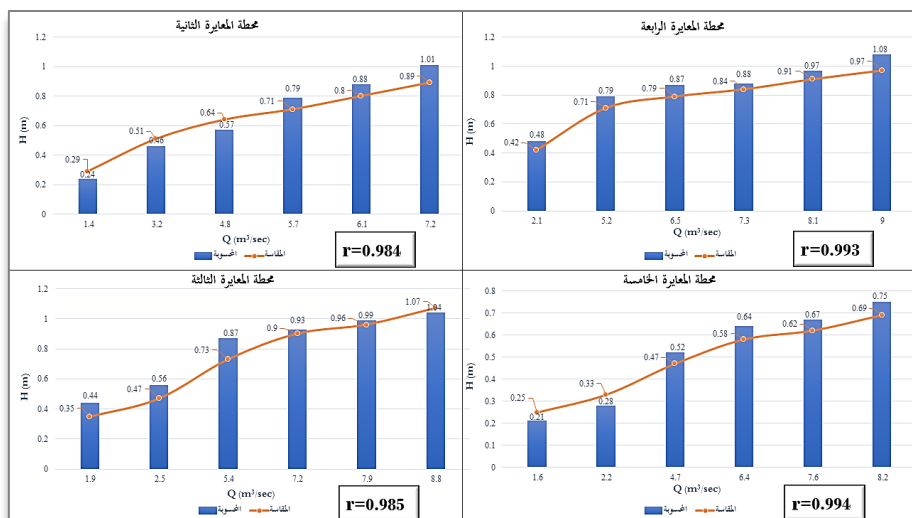
رقم المحطة	البعد عن السد (m)	نوع المنشأة في موقع المعايرة	البعد عن السد (m)	نوع المنشأة في موقع المعايرة	البعد عن السد (m)
5	15045	ضمن المجرى	4	ضمن المجرى	13780
3	8800	جسر	2	جسر	5500
1	2270	عبارة (دائيرية)			

الجدول (2) نتائج تطبيق قيم التدفق على النموذج ضمن محطة المعايرة الأولى.

معامل الارتباط الخطى (r)	المقاسة h (m)	المحسوبة h (m)	w.s elevation (m)	culvert elevation (m)	Q (m³/sec)
0.998	0.36	0.31	55.91	55.6	1.7
	0.51	0.44	56.04	55.6	2.6
	0.8	0.76	56.36	55.6	5.2
	0.89	0.87	56.47	55.6	6.3
	0.93	0.9	56.5	55.6	7.4



الشكل (8): ارتفاعات الماء المحسوبة والمقاسة خلال مرور تدفقات مختلفة عند محطة المعايرة الأولى.



الشكل (9): ارتفاعات الماء المحسوبة والمقاسة خلال مرور تدفقات مختلفة عند محطات المعايرة الثانية والثالثة والرابعة والخامسة.

نلاحظ من الشكلين (8) و (9) أن قيمة معامل الارتباط الخطى تجاوزت ($r > 0.9$) عند جميع محطات المعايرة وبالتالي التموذج مقبول ويمكن اجراء الدراسات الهيدروليكية الخاصة بالموجة الفيضانية الناجمة عن تشغيل المفرغ الجانبي لسد الأبرش.

6. النتائج ومناقشتها

بعد الوصول إلى الشكل النهائي للنموذج الخاص بمنطقة الدراسة والتحقق من مطابقته للواقع من الناحية الطبوغرافية والهيدروليكية، سيتم دراسة كافة عناصر ومتغيرات الموجة الفيضانية الناجمة عن تشغيل المفيض الجانبي لسد الأبرش بالقدرة التصريفية العظمى ومدى تأثيرها على القرى والمنشآت والطرق الواقعة ضمن منطقة الدراسة. حيث تم باستخدام صور الأقمار الصناعية اجراء مسح طبوغرافي لكافة القرى الواقعة ضمن منطقة الدراسة وذلك على امتداد (3.5) كم على جانبي نهر الأبرش حيث بلغ عددها (17) قرية، وبناء على الاحداثيات الجغرافية لكل قرية تم تحديد موقعها على النموذج وبالتالي تحديد بعد كل منها عن السد والنهر ونسبتها عن سطح البحر، وباستخدام برنامج الخرائط الجوية (google earth) ومن خلال الزيارات الميدانية لموقع النهر تم تحديد أماكن المنشآت المدنية والصناعية الواقعة ضمن منطقة الدراسة كما تم تحديد موقع الطرق الرئيسية والفرعية وخطوط السكك الحديدية التي تتقاطع مع النهر وامتدادها ضمن منطقة الدراسة ومن خلال اسقاط هذه المسارات فوق الخريطة الجوية تم تحديد احداثيات ونسب كل منها في منطقة التقاطع مع النهر، حيث يوضح الجدول (3) البيانات الخاصة بالقرى والجدولين (4) و (5) البيانات الخاصة بالمنشآت والطرق.

الجدول (3) البيانات الخاصة بالقرى الواقعة ضمن منطقة الدراسة.

الترتيب	الاسم	البعد عن السد (m)	البعد عن النهر (m)	النسبة عن سطح البحر (m)
1	المباركة	878	1989	240
2	بلدة القصر	1061	1319	225
3	بلدة تركب	1770	970	192
4	التوانين	1841	410	172
5	الصفصافة	4123	1197	101
6	عين الزيدة	4639	2878	96
7	بيت شوفان	5258	2284	83
8	بحوزي	5905	1385	75

القرى

45	1821	7072	ظهر الشمرة	9	
46	285	9092	دير الحجر	10	
44	86	9185	الهويسية	11	
45	103	9485	الريحانية	12	
38	1093	10725	الجماسية	13	
30	1736	10990	زاهد	14	
38	147	12050	تل كزل	15	
8	1937	14680	الحمدانية	16	
6	395	17750	عرب الشاطئ	17	

الجدول (4) البيانات الخاصة بالمنشآت الواقعة ضمن منطقة الدراسة.

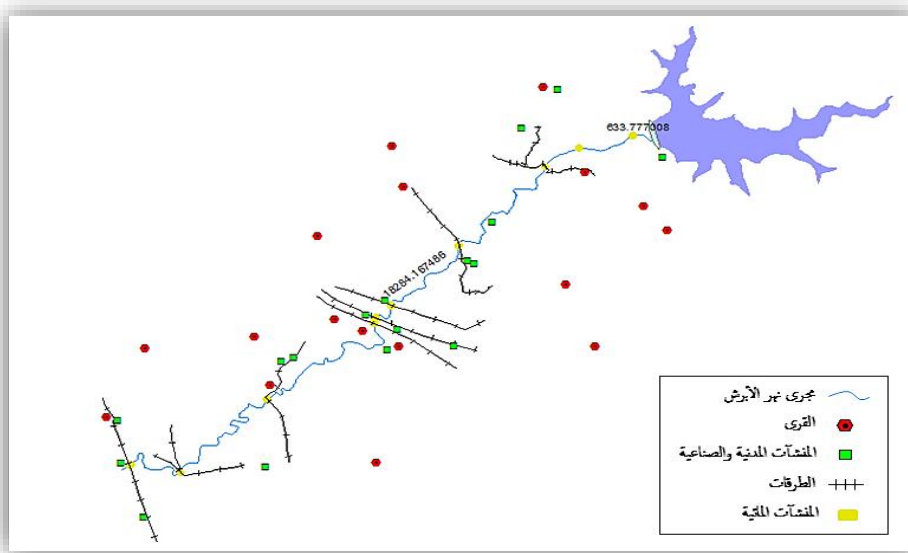
الترتيب	الاسم	البعد عن السد (m)	البعد عن النهر (m)	المنسوب عن سطح البحر (m)
1	ثانوية تركب	1260	1710	198.2
2	مدرسة تركب الإعدادية الثانية	2110	948	175.2
3	محطة معالجة الصرف	4327	161	46
4	مبني شركة صناعية	5728	217	43.3
5	معلم الأعلاف	5807	374	49.5
6	مستودعات لحفظ الحبوب والاسمنت	7510	129	35.1
7	مشتل زراعي	8827	226	33.5
8	مرملة	8871	517	30.8
9	مول تجاري	9680	276	32.6
10	روضة أطفال	10992	373	29.8
11	مدرسة (تل كزل)	11258	497	27.4
12	شركة لإنتاج الفلبين	14551	1126	17.6
13	مدرسة (عرب الشاطئ)	17564	1022	6.4
14	محطة ضخ الصرف	17803	1183	2.2

3.6	97	17876	تجمع أبنية وشاليهات	15
-----	----	-------	---------------------	----

الجدول (5) البيانات الخاصة بالطرق الواقعة ضمن منطقة الدراسة.

الاسم	البعد عن السد (m)	المنسوب عن سطح البحر (m)
طريق تركب - التوانين	2270	57.7
طريق بحوزي - الصفصفافة	5500	43
طريق طرطوس - الصفصفافة	7600	31.06
طريق حمص - طرطوس	8800	29.9
خط القطار	8950	29.5
طريق تل كزل - زاهد	12300	13.12
طريق عرب الشاطئ - زاهد	15950	5.1
طريق طرطوس - طرابلس	17710	4.43

بعد تحديد جميع المواقع والمسارات والنقاط الواقعة ضمن منطقة الدراسة تم انشاء خريطة طبوغرافية توضح التوزع المكاني لكافة العناصر السابقة وذلك بشكل طبقات مرجعة جغرافياً ضمن برنامج GIS كما يوضح الشكل (10).

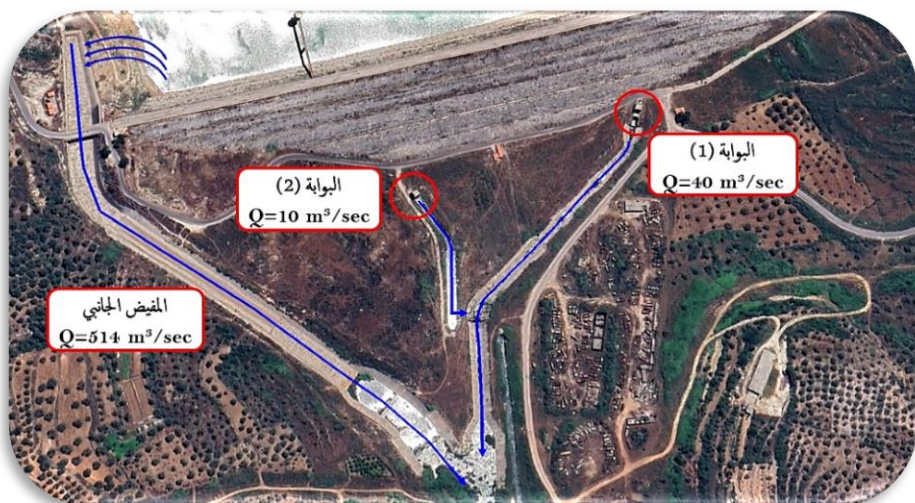


الشكل (10) يوضح التوزع المكاني للعناصر المدروسة ضمن برنامج GIS.

6-1- الدراسة الهيدروليكية للموجة الفيضانية:

تم تحديد كافة عناصر ومتغيرات الموجة الفيضانية وفق الفرضيات التالية:

- منسوب سطح الماء في البحيرة: (+114.74)
- التصريف المار عبر المفيض الجانبي يبلغ (514 m³/sec).
- بوابات المفرغ السفلي للسد مفتوحة بشكل كامل وعددها (2)، تمران تصريفاً كلياً يبلغ (50 m³/sec)، محولة بالكامل إلى مجرى النهر، كما يوضح الشكل (11).

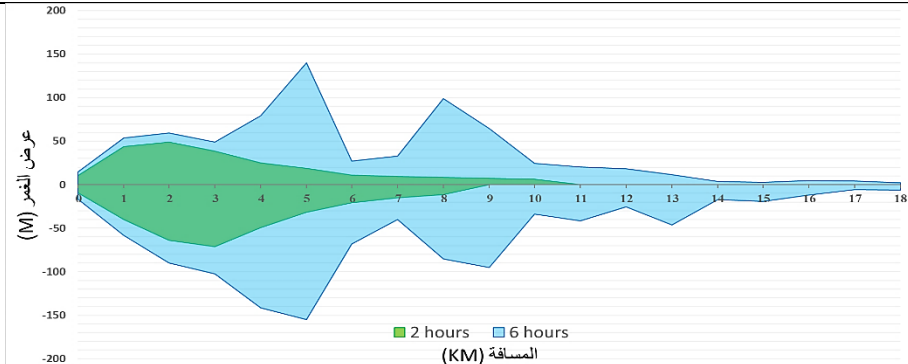


الشكل (11) يوضح معدل تصريف البوابتين والمفيض الجانبي وفق السيناريو المدروس.

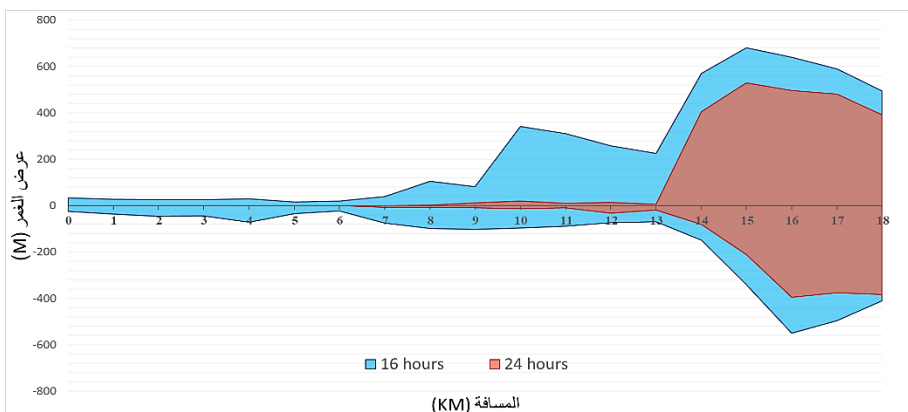
6-2- دراسة تأثير الموجة الفيضانية على كامل منطقة الدراسة:

عرض الغمر:

بلغت القيمة العظمى لعرض الغمر على الضفة اليسرى للنهر (680.3m) بعد مسافة (15.2km) عن السد وذلك بعد مرور (15.9hr) على بدء تشغيل المفيض الجانبي للسد، وعلى الضفة اليمنى بلغت (550.6m) بعد مسافة (16.5km) وذلك بعد مرور (15.4hr)، حيث يوضح الشكلين (12) (13) عرض الغمر الأعظمى على امتداد منطقة الدراسة خلال فترات زمنية مختلفة.



الشكل (12) عرض الغمر الأعظمي على امتداد منطقة الدراسة بعد مرور (2-6) ساعة على بدء تشغيل المفيض الجانبي.



الشكل (13) عرض الغمر الأعظمي على امتداد منطقة الدراسة بعد مرور (16-24) ساعة على بدء تشغيل المفيض الجانبي.

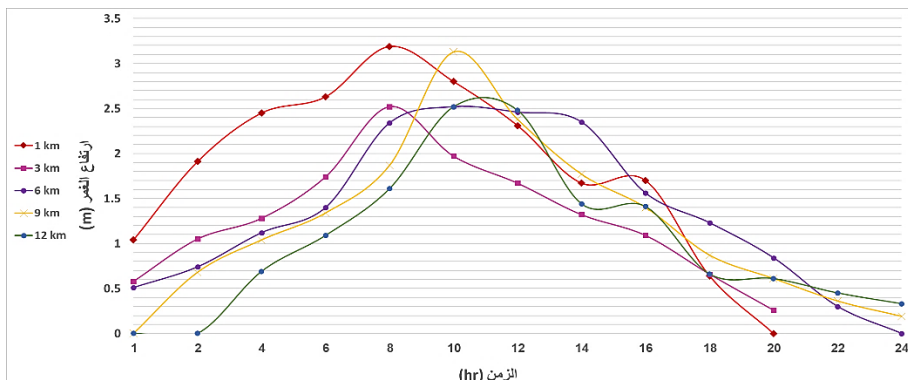
ارتفاع وسرعة الغمر:

تتعلق قيم ارتفاع وسرعة الغمر بالظروف الطبوغرافية للمنطقة وتغيراتها وبنوع التربة ومعامل الخشونة وبمعدل التدفق ومساحة ومحيط مقطع الجريان والميل الطولي وتغيراته، ومن خلال المعالجة الهيدروليكيه والطبوغرافية لكافه المعطيات السابقة ضمن بيئه (Gis) تم تحديد ارتفاع وسرعة الغمر في جميع مقاطع النهر وعلى امتداد منطقة الدراسة (المجرى والضفتين اليمنى واليسرى) وتغيراتها مع الزمن، حيث يوضح الجدول (6)

القيمة العظمى لارتفاع الغمر على امتداد منطقة الدراسة، كما يوضح الشكل (14) التغيرات في قيم ارتفاعات الغمر مع الزمن والمسافة.

الجدول (6) ارتفاع الغمر الأعظمى على امتداد منطقة الدراسة.

الزمن (بدءاً من عمل المفري) (hr)	الموقع (البعد عن السد) (km)	القيمة العظمى (m)	ارتفاع الغمر
8.2	3.19	3.48	

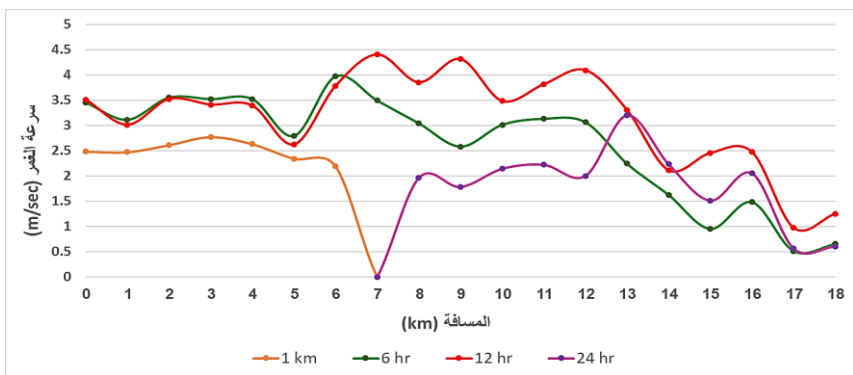


الشكل (14) يوضح علاقة ارتفاع الغمر مع الزمن في عدة مواقع من النهر.

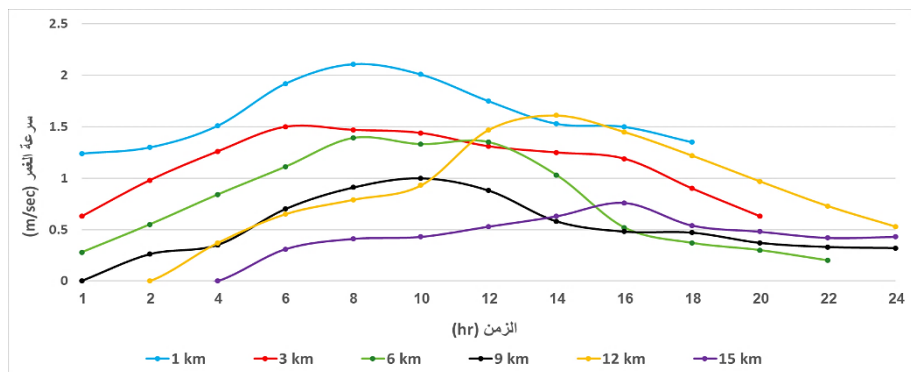
يوضح الجدول (7) القييم العظمى لسرعة الغمر ضمن المجرى وعلى الضفتين اليمنى واليسرى كما يوضح الشكل (15) التغير في سرعة الغمر على امتداد منطقة الدراسة وخلال عدة أزمنة بدءاً من لحظة عمل المفيض، كما يوضح الشكلين (16) (17) سرعة الغمر وتغيراتها مع الزمن عند الضفتين اليمنى واليسرى.

الجدول (7) القيم العظمى لسرعة الغمر على امتداد منطقة الدراسة.

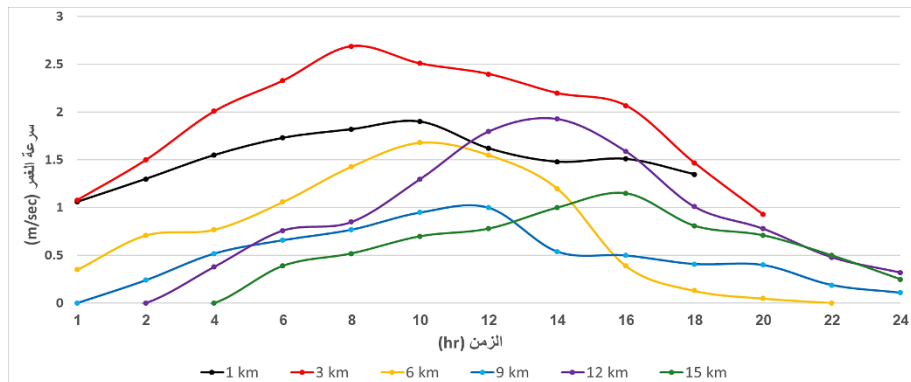
الصفة اليسرى	المجرى	الصفة اليمنى	سرعة الجريان الأعظمية (m/sec)
2.92	4.48	3.31	الموقع (البعد عن السد) (km)
4.1	7.2	2.3	زمن الوصول لسرعة العظمى من لحظة عمل المفيض (hour)
8.7	10.8	9.9	



الشكل (15) يوضح التغير في سرعة الغمر في سرعة الغمر مع المسافة على امتداد منطقة الدراسة



الشكل (16) يوضح التغير في سرعة الغمر مع الزمن في عدة مواقع (عند الصفة اليسرى)



الشكل (17) يوضح التغير في سرعة الغمر مع الزمن في عدة مواقع (عند الضفة اليمنى)

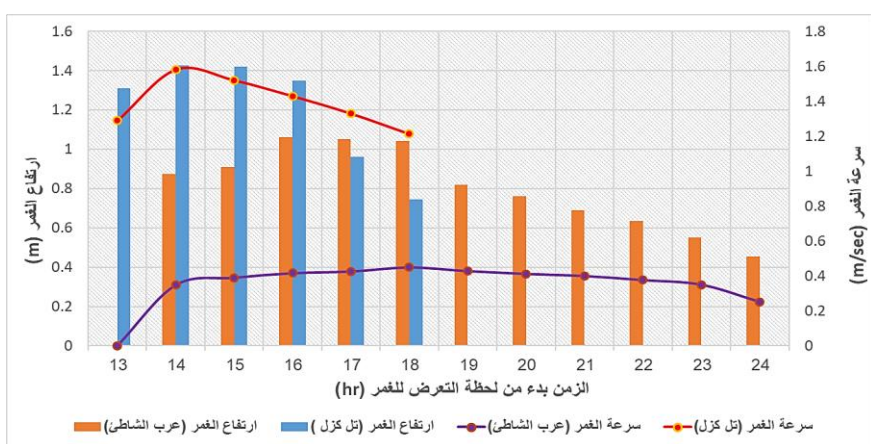
6-3- دراسة تأثير الموجة الفيضانية على القرى والمنشآت الواقعة ضمن منطقة الدراسة.

بناء على المعطيات الخاصة بالقرى والمنشآت من حيث الموقع الجغرافي والمنسوب عن سطح البحر والموضحة في الجدولين (3) و (4)، ومن خلال مقاطعة هذه المعطيات مع مخططات الغمر الناتجة عن الموجة الفيضانية المدروسة تبين أن القرى التي تتعرض للغرم تشمل (تل كزل وعرب الشاطئ)، ومن حيث المنشآت يشمل الغمر محطة معالجة الصرف بالإضافة لمجموعة من الأبنية والشاليهات تتوضع عند نهاية مجرى النهر وبالقرب منه وتمتد على مساحة تبلغ (0.023 km^2)، حيث يوضح الجدول (8) والأشكال (18) و(19) و(20) نتائج الغمر وفق السيناريو المدروso.

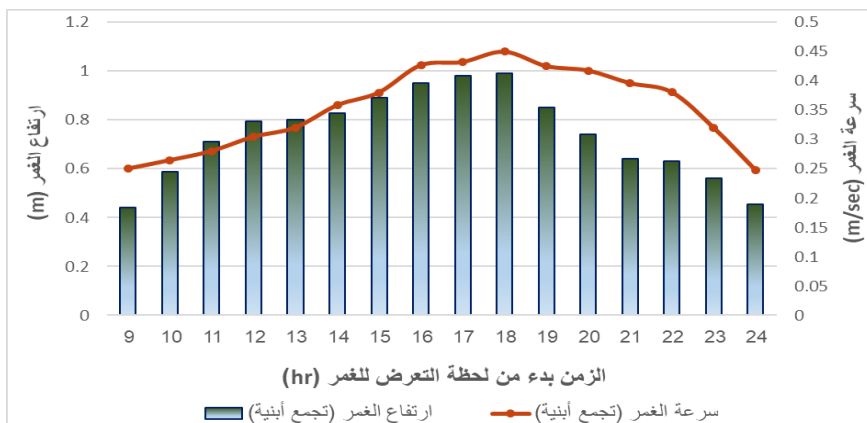
الجدول (8): نتائج تطبيق سيناريو الغمر المدروso على القرى والمنشآت.

المنشآت والأبنية		القرى		منسوب الغمر الأعظمي (m)
محطة معالجة الصرف	تجمع أبنية وشاليهات	عرب الشاطئ	تل كزل	
47.58	4.59	7.06	39.42	

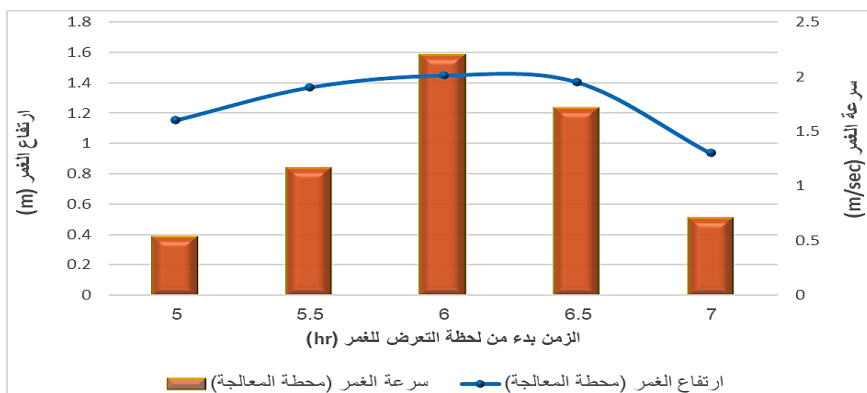
5.0	9.2	14.1	12.7	زمن التعرض للغمر بدءاً من لحظة عمل المفيض (hour)
2.1	14.8	9.9	6.4	مدة استمرار الغمر (hour)
1.58	0.99	1.06	1.42	ارتفاع الغمر الأعظمي (m)
2.01	0.44	0.45	1.58	سرعة الجريان الأعظمية (m/sec)
146.3	510.2	516.7	257.1	عرض الغمر الأعظمي عند الموقع (m)
6.2	15.7	16.6	16.2	زمن الوصول إلى عرض الغمر الأعظمي (hour)
—	—	121.8	110.1	مسافة دخول المياه ضمن حدود القرية (m)



الشكل (18) يوضح التغير في ارتفاع وسرعة مع الزمن عند عرب الشاطئ وتل كزل.



الشكل (19) يوضح التغير في سرعة وارتفاع الغمر مع الزمن في منطقة تجمع أبنية وشاليهات تقع عند نهاية مجاري نهر الأبرش.



الشكل (20) يوضح علاقة الزمن مع سرعة وارتفاع الغمر عند موقع محطة معالجة الصرف.

مناقشة النتائج:

- نلاحظ أن جميع القرى الواقعة ضمن منطقة الدراسة لم تتأثر بالفيضان الناجم عن مفرغات السد وذلك باستثناء (عرب الشاطئ وتل كزل)، ويعود السبب في ذلك إلى المناسبات المرتفعة لأغلب القرى وخاصة تلك التي تتواجد في الجزء الأول من منطقة الدراسة (على امتداد 6 كيلومتر خلف السد)، بالإضافة إلى بعدها عن المجرى بحيث لا تصلها مياه الغمر كما هو موضح في الجدول (3).

- نلاحظ من الشكل (18) أن ارتفاعات الغمر عند عرب الشاطئ تراوحت بين $0.46-1.06$ m، ومع استمرارية الغمر الطويلة التي وصلت إلى (10) ساعات، هذا

سيؤدي إلى تخريب الممتلكات وإلحاق الضرر بالبني التحتية الموجودة في المنطقة بالإضافة لاحتمالية فيضان مياه الصرف الصحي وحدوث تلوث بيئي في القرية.

- نلاحظ من الشكل (18) أن الساعة الثانية بدءاً من لحظة التعرض للغمر هي الأخطر بالنسبة لقرية تل كزل من حيث سرعة وارتفاع الغمر، مع العلم أن سرعة الجريان كانت عالية طيلة فترة الغمر حيث تراوحت بين (1.21_1.58 m/sec)، مما سيؤدي إلى إتلاف المزروعات وتخريب البيوت البلاستيكية الموجودة في المنطقة.

- تتعرض محطة معالجة الصرف للغمر الجزئي بفيضان المياه وذلك بعد وصول عرض الغمر إلى قيمته العظمى والبالغ (146.3m)، حيث استمر الغمر لمدة (2.1hr) فقط وذلك بسبب المنسوب المرتفع للمحطة والميول العالية التي أدت إلى انحسار المياه خلال زمن قصير.

- نلاحظ من الشكل (19) أن الخط الأكبر بالنسبة لموقع تجمع الأبنية والشاليهات هو استمرارية الغمر والتي تجاوزت (14hr)، مع العلم أن ارتفاعات الغمر لم تتجاوز (1m) في أقصى حالاتها، لذلك يمكن حماية هذه المنشآت باستخدام الحاجز الترابية أو البيتونية.

6-4- دراسة تأثير الموجة الفيضانية على الطرق الواقعه ضمن منطقة الدراسة.

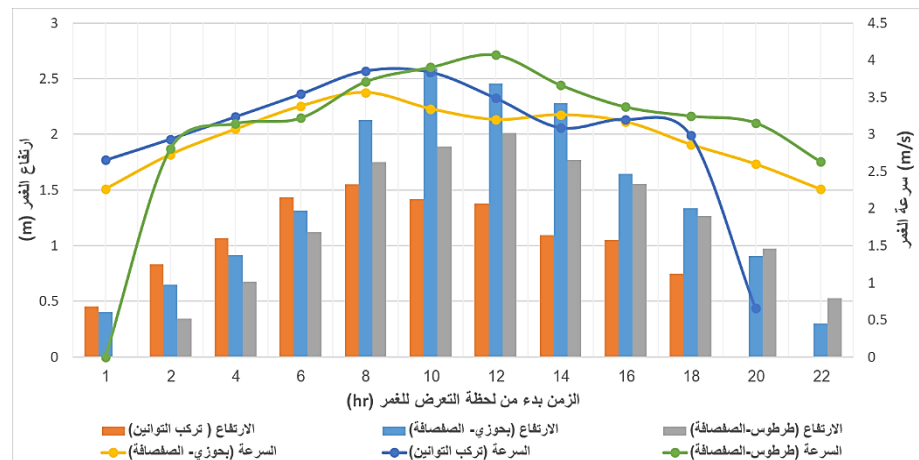
يتعلق تعرض الطريق للغمر في منطقة تقاطع مع النهر بنوع المنشأة المقام عليها، حيث تزداد احتمالية التعرض للغمر في حال وجود عبارة بسبب إعاقتها للجريان في الموقع، وتكون الاحتمالية أقل في حالة الجسر إلا في حال كان الجسر منخفض وعلى مستوى الضفاف كما هو الحال عند طريق (تل كزل-زاهد)، ومن خلال تحديد مناسبات الغمر الحاصلة في منطقة تقاطع الطرق مع النهر ومقارنتها مع منسوب أعلى الطريق تم تحديد

جميع الطرق التي تتعرض للغمر كما هو موضح في الجدول (9).

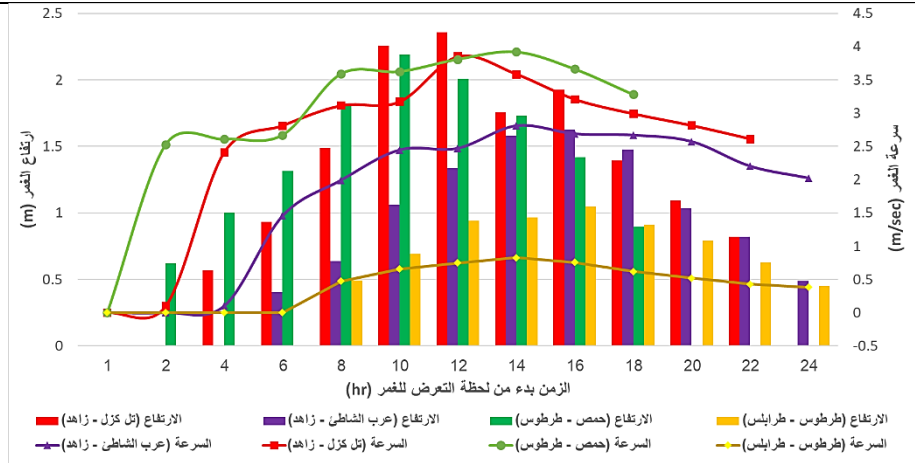
الجدول (9): نتائج تأثير الموجة الفيضانية على الطرق الواقعه ضمن منطقة الدراسة.

عرض الغمر الأعظمي (m)	سرعة الجريان الأعظمية (m/sec)	ارتفاع الغمر الأعظمي (m)	استمرارية الغمر (hour)	زمن التعرض للغمر (hour)	الطريق	سبب الغمر
يمين المجرى	يسار المجرى					

93.1	56.6	3.85	1.55	19.4	0.5	- تركب - التوانين	غمر ناتج عن ارتفاع منسوب المياه في المجرى عند منطقة التقطاع مع الطريق.
111.5	83.5	3.56	2.59	21.5	0.9	- بحوزي - الصفصافة	
89.1	78.9	4.07	2.0	22.1	1.7	- طرطوس - الصفصافة	
102.2	86.1	3.92	2.19	17.2	2.4	- حمص - طرطوس	
71.9	248.4	3.85	2.35	20.3	3.6	- تل كزل - زاهد	
540.1	642.1	2.81	1.62	18.7	5.3	- عرب الشاطئ - زاهد	
439.3	527.6	0.82	1.05	16.5	7.5	- طرطوس - طرابلس	غمر ناتج عن تدفق المياه من مقاطع سابقة نحو الطريق



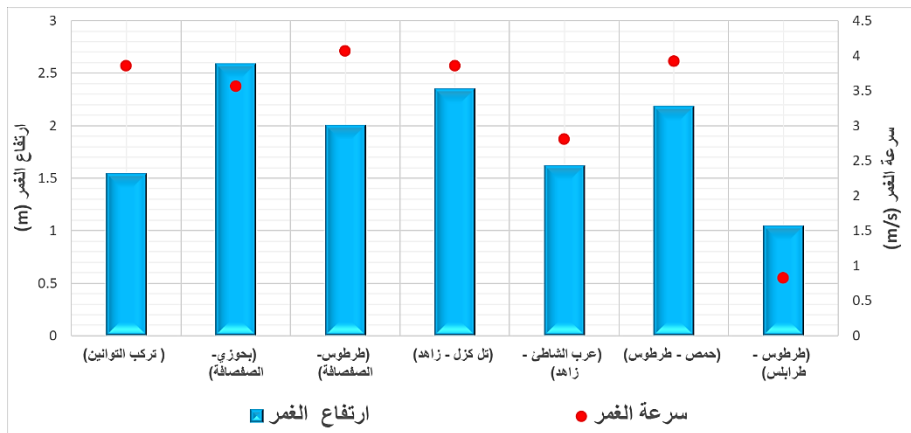
الشكل (21) يوضح ارتفاع وسرعة الغمر للطرقات الواقعة ضمن المنطقة الممتدة من السد وحتى مسافة (8) كم عنه.



الشكل (22) يوضح ارتفاع وسرعة الغمر للطرقات الواقعه ضمن منطقة الدراسة من مسافة (8) كم عن السد وحتى نهاية المجرى.

مناقشة النتائج:

- نلاحظ من الجدول (9) أن طريق (طرطوس - طرابلس) لا يتعرض للغمر المباشر ب المياه الفيضان في منطقة التقاطع مع المجرى حيث بلغ منسوب الغمر الأعظمي عند موقع الطريق (3.48m) في حين أن منسوب أعلى الطريق (4.43)، وإنما يتعرض امتداد الطريق على جانبي المجرى بالغمر الناتج عن المياه المتتدفقة من المقاطع السابقة.
- نلاحظ من الشكلين (21)،(22) أن سرعة جريان الموجة الفيضانية تجاوزت (3.5m/sec) عند كل من الطرقات (تركم التوانين - بحوزي الصفاصفة - طربوس الصفاصفة - تل كزل زاهد - حمص طربوس) واستمرت لمدة تجاوزت (10) ساعات، وبالتالي يمكن اعتبار معدل الخطير مرتفع ويسبب بحدوث اضرار كبيرة على هذه الطرقات بالإضافة للمنشآت والمزروعات والبيوت البلاستيكية المتواجدة على محيطها.
- نلاحظ من الشكلين (21)،(22) أن المدة بدءاً من الساعة الثامنة وحتى الساعة السادسة عشر هي الأخطر من حيث السرعة والارتفاع بالنسبة لجميع الطرقات المعروضة للغمر، حيث يوضح الشكل (23) نتائج الفيضان عند جميع الطرقات خلال هذه المدة.



الشكل (23) القيم العظمى لارتفاع وسرعة الغمر عند الطرق (من الساعة 8 حتى الساعة 16).

7. الاستنتاجات والتوصيات

الاستنتاجات:

- تبين من الدراسة أن مياه الفيضان ستؤثر بشكل مباشر على التجمعات السكنية والشاليهات التي تتوضع عند نهاية مجاري نهر الأبرش وتبعد عنه مسافة (24.5m)، حيث بلغ ارتفاع الغمر الأعظمي (0.99m)، وبالتالي ستتعرض هذه الأبنية لغمر جزئي سيؤدي بعض الأضرار الناجمة عن تسرب المياه إلى الطوابق السفلية (تحت الأرض) التابعة لبعض الأبنية، بالإضافة لاحتمالية حدوث تلوث ناجم عن فيضان مياه الصرف الصحي في المنطقة.

- الجزء الأخير من منطقة الدراسة (الذي يمتد على مسافة 3 كم من النهاية) يعتبر الأخطر من حيث عرض واستمرارية الغمر، وذلك بسبب سهلية المنطقة بالإضافة للتشوهات الحاصلة في أغلب مقاطع المجرى والتي تؤدي إلى حدوث انتشار عرضي لمياه الفيضان حيث تجاوز عرض الغمر الكلي على جانبي المجرى (1190m).

- تبين من الدراسة أنه لا يوجد خطر مباشر على سكان القرى المعرضة للغمر وخاصة مع وجود الزمن الكافي لاتخاذ إجراءات الحماية، حيث يجب اخلاق الطرق من المارة وخاصة الأطفال، وإخلاء الطوابق السفلية من السكان مع محاولة اغلاق المنافذ لقليل معدلات التسرب الممكن حدوثها.
- تتعرض جميع الطرق الواقعة ضمن منطقة الدراسة للغمر بمياه الفيضان، حيث يعتبر طريق (طرطوس-الصفصافة) هو الأخطر من حيث استمرارية وسرعة الغمر والتي تجاوزت (4 m/s) في منطقة التقاء مع المجرى.

النوصيات:

- ضرورة اجراء أعمال الصيانة والتسوية لجوانب وقاع مجرى نهر الأبرش وخاصة في مقاطعه الأخيرة.
- تحديد حرم الأنهار بناء على سيناريوهات الغمر المدروسة والمخططات الناتجة عنها، وتقسيم المناطق على جانبي المجرى حسب درجة الخطير.
- وضع محطات لقياس الغزارة والمنسوب على كافة المجاري المائية وخاصة التي تتضمن سدود بهدف الحصول على قيم دقة عند اجراء الدراسات الخاصة بالمجرى.
- التخطيط المستقبلي لزيادة استثمار مياه السد في مختلف المشاريع وذلك من خلال السيطرة على مياه الفيضان وتوجيهها والاستفادة منها في تحسين الواقع المائي في البلاد
- ضرورة المحافظة على الغطاء النباتي وتشجير المناطق الممتدة على جانبي المجرى، والتوسيع في دراسة تأثير معامل الخشونة على سلوك الفيضان ومخططات الغمر.

8. المراجع

المراجع العربية

- 1- حلاوة، ليلى (2014) - الإدارة الهيدروليكيّة للموجة الفيضانيّة الناجمة عن انهيار سد ترابي والتخفيف من آثارها (منطقة الدراسة مجرى نهر العاصي بين سد قطينة والرسشن ومحرده). رسالة دكتورا في الهندسة المدنيّة، جامعة حمص.
- 2- إبراهيم، بتول (2019) - تخطيط الموارد المائية وإدارتها في حوض نهر الأبرش. رسالة ماجستير في الهندسة المدنيّة، جامعة حمص.
- 3- أحمد، علي (2022) - تحديد العناصر الهيدروليكيّة للموجات الفيضانيّة الناجمة عن الھطولات المطريّة واقتراح منشآت تنظيم لمجرى نهر الغمقة. رسالة دكتورا في الهندسة المدنيّة، قسم هندسة وإدارة المواد المائية، جامعة حمص.

المراجع الأجنبية

- 4- CHAGAS, P. F., SANTOS, S. H., ANDRADE, C., UETA, V., & SOUZA, R. (2010) Application of mathematical modeling to study flood wave behavior in natural rivers as function of hydraulic and hydrological parameters of the basin. Federal University of de Ciara, Fortaleza, Brazil.
- 5- Maguire, D. J. (1991). An overview and definition of GIS Geographical information systems. Principles and applications, 1(1), 9-20.
- 6- BRUNNER, G. W. (2016) HEC-RAS River Analysis System Version 5. Hydrologic Engineering Center, California.
- 7- Zhao, Q., Yu, L., Li, X., Peng, D., Zhang, Y., & Gong, P. (2021). Progress and trends in the application of Google Earth and Google Earth Engine. Remote Sensing, 13(18), 3778.
- 8- SHARMA, P., & MUJUMDAR, S (2016) Dam Break Analysis Using HEC-RAS and Hec-GeoRas–A Case Study of Ajwa Reservoir. Water Resources and Ocean Science, Vol.6.108.
- 9- Diedhiou, R., Sambou, S., Kane, S., Leye, I., Diatta, S., Sane, M. L., & Ndione, D. M. (2020). Calibration of HEC-RAS model for one dimensional steady flow analysis—a case of senegal river estuary

downstream diama dam. Open Journal of Modern Hydrology, 10(03), 45.